

华东地区机械工业
第次热处理经验交流会
资料选编

华东地区机械工业热处理技术协作组

山东省机械工业局科技情报站印

一九七八年

目 录

- 滴注式可控气氛渗碳 上海市机械制造工艺研究所 (1)
汽车齿轮离子碳氮共渗工艺探讨 江西汽车齿轮箱厂 (17)
谈渗硼模具用钢的选择及其热处理 山东工学院 (32)
低碳马氏体在拖拉机轴类件的应用试验 常州拖拉机厂 (42)
钢结硬质合金的成分、热处理与机械性能 合肥工业大学 (57)
三乙醇胺气体碳氮共渗 上海电机公司机修厂 (68)
聚醚淬火介质在模具上的应用 南京开关厂、南京航空学院 (78)
提高黄河牌 JN150型汽车后桥螺旋伞齿轮使用寿命的途径 济南汽车制造厂 (90)
滴注式保护气体热 处理 宁波动力机厂 (100)
球状尿素气体软氮化设备及其管道堵塞的分析 福建省三明市标准件厂
福 州 大 学 (111)
功率可调单回路超音频感应加热设备 介绍 福建省机械研究所 (116)
程控双频感应加热 装置 江西井冈山地区柴油机厂 (119)
100KW三相四极侧埋式阶梯形炉膛电极盐浴炉 合肥汽车配件厂 (131)
高温盐炉用“阴极保护法”测 温 福建龙岩风动工具厂 (143)

滴注式可控气氛渗碳

上海市机械制造工艺研究所

前　　言

准确地控制渗碳件的表面含碳量，是渗碳过程中一个十分重要的环节。随着产品质量要求的不断提高，这个问题的重要性也就越来越明显了。实验表明，在一定的工作条件下，不同的渗碳钢往往对应着不同的表面最佳碳浓度。即使是同样的渗碳钢，由于工作条件的不同，其最佳表面碳浓度也是不一样的。如能根据钢种及其所制零件的工作状态，准确地把表面碳浓度控制在最佳范围之内，对充分发挥渗碳钢的潜力、延长渗碳件的使用寿命，具有重大的作用。

大家知道，渗碳件表面碳浓度的控制，是通过控制炉气的碳势来实现的。但是，历史悠久的渗碳工艺，长期以来却没有能达到碳势控制的要求，致使渗碳质量很不稳定，不是渗碳不足，就是渗碳过剩。为了消除这些缺陷，常常需要增加很多辅助工序，如采用正火或双重淬火来消除网状碳化物；采用长时间的高温回火或冰冷处理来消除过多的残留奥氏体。这样处理的结果，无疑将提高加工成本，降低产品质量（如变形和氧化等）。纵然如此，仍不免造成大量的废品。

第二次世界大战以后，在国际上出现了吸热式可控气氛的渗碳方法。由此实现了碳势控制，在多方面的应用中，取得了良好的效果，使渗碳工艺的发展大大地向前跨进了一步。此法在我国的一些工厂里，已得到了程度不等的应用。但是，这种方法所使用的吸热式气体是通过专门的发生器来制备的，而发生器的制造成本比较高，发生器和工作炉所需要的原料气也不是能容易得到的。所以，这种方法的使用和推广受到了一定的限制。

广泛采用的井式炉气体渗碳，具有设备简易，操作方便等优点。由于原来滴剂的选择和使用不够妥当，同时又缺乏必要的测试手段，炉气碳势一直不能控制。后来，随着各种科学的发展，为其发展创造了条件，在六十年代里终于实现了井式炉气体渗碳的碳势控制。因为它不仅具有发生器法碳势的可控性，而且还具有井式炉渗碳的经济性，兼备了两者的优点，克服了两者的缺点，尤其适合于中小企业及偏远地区，所以此法一问世便引起了极大的注意。我国有不少单位，对此进行了实验研究，获得了十分可喜的成就。最近几年，随着我国仪表工业的迅速发展，为实现井式炉气体渗碳的碳势控制提供了宝贵的物质条件。为此，我所对井式炉的碳势控制也开展了实验工作。我们采用了上海第二分析仪器厂的HQG—71型红外线CO₂分析仪，对炉气进行连续测量和自动调节。与此同时，又采用了上海分析仪器厂的102—G气相色谱分析仪，对炉气进行全分析，

借以全面了解炉气的生成和变化规律。经过一年来的实验探索，取得了一定的进展，其精确性和再现性均取得了令人满意的效果，并已在生产中应用。实验工作目前仍在深入进行之中，本文仅是对前一阶段工作的简略回顾。由于很多工作尚未着手进行，对实验中所涉及的许多基础理论也深感贫乏，故错误与不当之处在所难免，希望同志们给以批评指正，以便加快实验工作进展。

在实验过程中，上海第二分析仪器厂红外组的同志们曾给予及时有效的帮助，谨表示衷心的感谢。

一、滴注式可控气氛的制备及碳势控制原理

(一) 滴注式可控气氛的制备

本方法不同于原来井式炉气体渗碳的一个显著特点，是同时向炉内滴注两种不同的有机液体，通过在高温之下的直接分解而获得所需要的渗碳气氛。

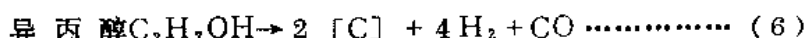
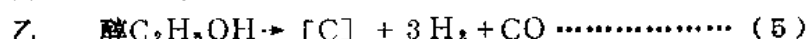
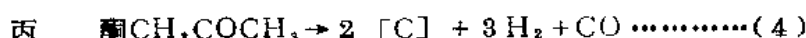
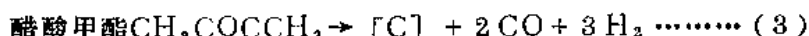
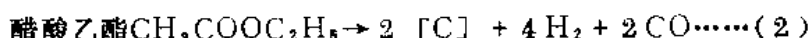
其中一种有机液体在渗碳温度下，分解成一般渗碳作用十分微弱的稀释气氛（又叫运载气氛）。其作用是在渗碳初期排除炉内的空气，在渗碳阶段维持炉内正压力，并构成基本恒定的炉气成分。这种液体一般选用甲醇。甲醇属于简单的脂肪族，其碳氧之比（C/O）等于1。在高温之下，甲醇将以下式进行分解：



分解的气氛几乎由1/3的CO和2/3的H₂所组成。除此之外，尚有少量的CO₂、H₂O和CH₄。

甲醇在800℃时就能充分的分解。但为了防止工件的氧化，在650℃时就可以向炉内滴注。甲醇的碳当量（所谓碳当量，就是形成1克原子碳——12克碳所需要的液体重量）非常之大。据有关文献介绍，在950℃时要想获得0.6%的碳势，甲醇的耗用量高达744.45克，故通常不用甲醇作为形成渗碳气氛的液体，而只用它来形成稀释气氛。

另外一种液体在高温之下能够形成渗碳气氛。当炉温不变时，气氛碳势的高低主要取决于这种液体滴量的大小，碳势的自动控制主要就是通过自动控制这种液体的滴量而实现。这种液体最好选用分子结构简单、在高温下受碳氢化合物含氧衍生物的作用而极易分解的有机化合物，它们在裂化之后过剩的碳不多，因而没有产生炭黑或焦油的危险。这种化合物有醇、酮、酯、醚，其碳氧之比大于1。在渗碳温度下，它们理想的渗碳反应分别如下：



分解气氛的组成中，主要是CO和H₂，另有少量的CO₂、H₂O和CH₄。在900℃碳势为1%时的气体成分如表1所示。

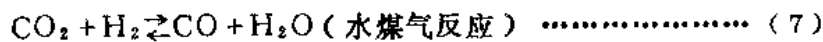
表 1 900℃ 碳势为 1% 时的气体成分

滴注剂	气体成分 (%)				
	CO ₂	H ₂ O	CH ₄	CO	H ₂
CH ₃ OH (甲醇)	0.35	0.96	0.68	32.35	65.66
CH ₃ COOC ₂ H ₅ (醋酸乙酯)	0.35	0.96	0.68	32.35	65.66
CH ₃ COOCH ₃ + CH ₃ COCH ₃ (醋酸甲酯 + 丙酮 = 1 : 1)	0.35	0.96	0.68	32.35	65.66
C ₂ H ₅ OH (异丙醇)	0.13	0.695	1.025	19.42	78.73

以上所得气氛的组成系以 CO 和 H₂ 为主，属吸热式气氛。本方法所使用的渗碳气氛，基本上就是这种吸热式气氛。

其中，CO 和 H₂ 属还原性气氛；CO₂ 和 H₂O 属氧化脱碳性气氛；CO 和 CH₄ 属渗碳性气氛；H₂ 虽属还原性气氛，但在高温之下却有脱碳作用。因此，能否达到光洁渗碳之目的主要取决于气相中的 CO₂/CO 和 H₂O/H₂ 之比值。在正常的气氛中，这个比值是很小的，这从表 1 可以看出。所以采用上述气氛是可以进行光洁渗碳的。

气氛在炉内进行着一系列错综复杂的反应。它们和炉壁及钢铁工件之间，存在着氧化——还原和渗碳——脱碳反应；炉气彼此之间也要互相反应，而其中代表着炉气之间互相依存互相制约的反应，便是煤水气反应：



(二) 碳势控制原理

渗碳入钢中有两种可能。其一是甲烷 CH₄ 的直接分解：



其二是 Boudouard 反应，即 CO 的分解：



从方程式(8)和(9)可以看出：当以甲烷 CH₄ 直接分解进行渗碳时，则碳势与 $\frac{\text{CH}_4}{(\text{H}_2)^2}$ 成正比；当以 CO 分解进行渗碳时，则碳势与 $\frac{(\text{CO})^2}{\text{CO}_2}$ 成正比。鉴于气氛中的 CO 和 H₂ 是大量存在的，而且在很大的碳势范围内又可以看成是基本恒定不变的，因此，炉气碳势主要受 CH₄ 和 CO₂ 含量的影响。当提高 CH₄ 或减少 CO₂ 的含量时，即能使碳势增高，反之则碳势降低。

甲烷 CH₄ 是一种强烈的渗碳气氛，在高温时它首先与 H₂O 和 CO₂ 进行如下的反应：



反应之后如仍有过剩的 CH₄，将以方程式(8)进行分解，直接提供活性碳素，在一定的时间和限度以内（如渗碳初期），这类活性碳素将被未饱和的奥氏体所吸收，这对迅速提

高炉气碳势加快渗碳速度，并无害处。但随着炉气碳势的升高和渗碳钢表面碳吸收能力的减弱，过剩的甲烷分解则会形成炭黑或焦油，从而对渗碳引起抑制作用。因此，在渗碳过程中必须通过控制渗碳剂的用量而对甲烷的含量严加控制，使其含量在1.5%以下。从表1的气体成分可以看出，本方法所使用的渗碳气氛是符合这个要求的。而当甲烷含量不超过1.5%时，碳的渗入则主要是以CO的分解来进行的，于是，炉气的碳势就主要取决于CO₂的含量，只要控制CO₂的含量，便可达到控制碳势之目的。本实验就是用红外线CO₂分析仪，通过对炉气中CO₂含量的控制而实现碳势控制的。

另外，由于炉气中存在着互相制约的水煤气反应，故当CO和H₂的含量恒定不变时，CO₂和H₂O便有一线性的关系，控制炉气中的H₂O含量，也同样可以控制碳势。这就是采用露点仪的理论根据。

综上所述，只有当炉气中的CO和H₂含量基本上恒定不变，而甲烷CH₄的含量又不超过1.5%的时候，才可以通过控制炉气中的CO₂(或H₂O)含量对气氛碳势进行准确的一元化的控制。否则，CO₂含量与炉气碳势便没有固定的对应关系。这是非常重要的环节。所谓炉气是否稳定，主要是指此而言。满足这个条件是靠正确地选择渗碳剂，并严格控制其供给量来实现的。因此，当以甲醇为稀释剂的时候，在选择渗碳剂时还必须考虑这样一个问题：渗碳剂分解后的气体成分应该与甲醇分解后的气体成分基本相同，这样才能保证炉气成分的稳定，这是实现一元化控制的基础。图1介绍几种有机液体经理想渗碳反应之后的气体成分。从图1和表1中可以看到，醋酸乙酯分解后的气体成分与甲醇分解后的气体成分完全一样，甲醇与醋酸乙酯在任何比例之下，均能保证炉气成分

稳定不变，故醋酸乙酯应该是最理想的渗碳剂，而丙酮、乙醇等应略为逊色。但实验表明，丙酮反而比醋酸乙酯要好，在下面将对此进行分析讨论。

我们用醋酸乙酯和丙酮为渗碳剂分别进行实验之后，又以煤油为渗碳剂进行了实验。照以往的观点来看，用煤油似乎不能满足本方法的要求，因为单独使用煤油时，其分解后的甲烷含量很高。但与甲醇联合使用时，并非如此。实验证明，当以甲醇为稀释剂、煤油为渗碳剂时，也是可以进行碳势控制的。在碳势自控阶段时，用电磁阀对煤油的供给实行脉冲式自

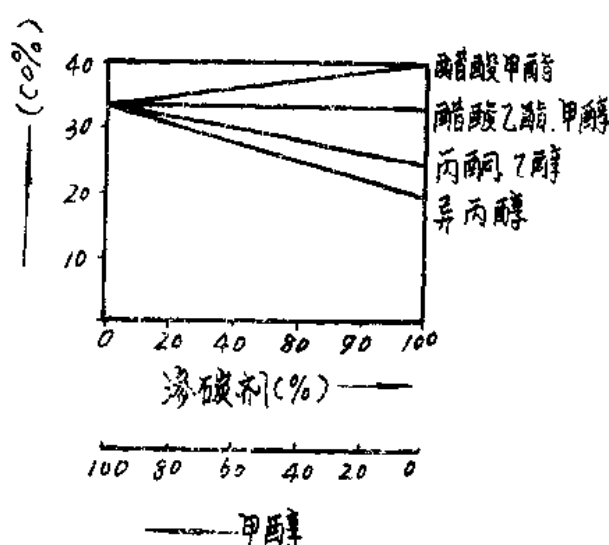


图1 不同渗碳剂与甲醇混合物对炉气中CO含量的影响

控的情况下，我们对炉气成分进行了全分析，结果如表2所示。

从表2可以看出，炉气中CO和H₂的含量是相当稳定的，误差波动在±1.2%以内；甲烷CH₄的含量基本上在1%以下，即使在脉冲供给煤油的时刻仍不超过1.5%。因此，用甲醇+煤油进行渗碳时，碳势控制也是完全可以的。本方法在自控阶段时，煤油

表2 炉气成分实测值

炉气成分 (%)						备注
CO ₂	O ₂	N ₂	CH ₄	CO	H ₂	
0.70	0	2.10	0.35	33.90	63.95	停供煤油时
	0	2.45	0.64	33.40	63.21	供应煤油时
0.35	0	2.17	0.64	31.10	65.74	停供煤油时
	0	2.06	1.12	31.00	65.47	供应煤油时
0.40	0	2.69	0.64	32.40	63.87	
0.45	0	2.79	0.56	32.90	63.30	
0.50	0	1.99	0.45	33.40	63.66	

注: CO₂是用红外仪测定的; 其他用色谱分析仪测定。N₂数据偏高, 可能是取气针筒略有漏气所致。

的需要量仅为甲醇的1/6或更少, 而单位容积的产气量煤油却几乎只相当于甲醇的一半, 即在自控阶段煤油的产量为甲醇的1/12或更少。于是, 煤油滴入之后分解出的气体对甲醇分解气体的干扰不大, 这就是炉气成分之所以稳定的原因。煤油价钱便宜、来源丰富, 故用于本方法的意义也就更大。

二、实验炉的改装及碳势自动控制系统

(一) 实验的改装

实验是在75班的井式气体渗碳炉上进行的。鉴于本方法的一些特殊要求, 必须对原来的炉子进行适当的改装, 方能保证工作的正常开展。改装的部分主要有以下几点:

1. 风扇轴的密封

如前所述, 炉气成分的稳定是实行碳势控制的基础, 而炉膛密封不良, 对炉气的稳定极为不利。原来井式炉的风扇轴处漏气现象非常严重, 成了整个炉膛密封的关键问题。不仅过多的耗费滴剂, 而且也影响气氛的精确控制。为此, 我们把它改成了活塞环加水冷套的方式(见图2)。这种改法比较简便, 原来的风扇架和风扇轴均可继续留用。经一年来的使用证明, 运行平稳, 密封良好, 保证了工作的顺利进行。

2. 滴液阀

原来电炉上配套的滴液阀只有一头, 这对只用一种滴剂的气体渗碳尚能满足需要。而本实验需要同时滴注两种液体, 原配阀门不够用了。所以, 我们重新制造了一只三头滴液阀(见图3), 滴量100滴≈4毫升。阀杆螺距为0.75毫米的细牙, 阀杆锥度为10°的尖针, 这对保证滴量的精确和稳定, 效果很好。考虑到某些渗碳剂(如醋酸乙酯)有腐

蚀性，故阀体材料均为不锈钢。

3. 滴注管

滴注管由内外两部分组成（见图4）。炉外部分上接滴液阀，外设水冷套，以防滴剂在中途雾化，保证正常滴注。

炉内部分是滴剂的导向管。原来的导向管只到风扇附近，滴注方向恰与风扇鼓出的废气相遇，对炉压的敏感性很大，造成滴量不稳定。我们把它加长到风扇挡板以下，使滴注方向顺应炉气循环的方向，保证了稳定的滴注，克服了对炉压的敏感性。

4. 取气管

取气管的位置对气氛测定的真实性影响很大。合理的取气位置应该在工件的附近。

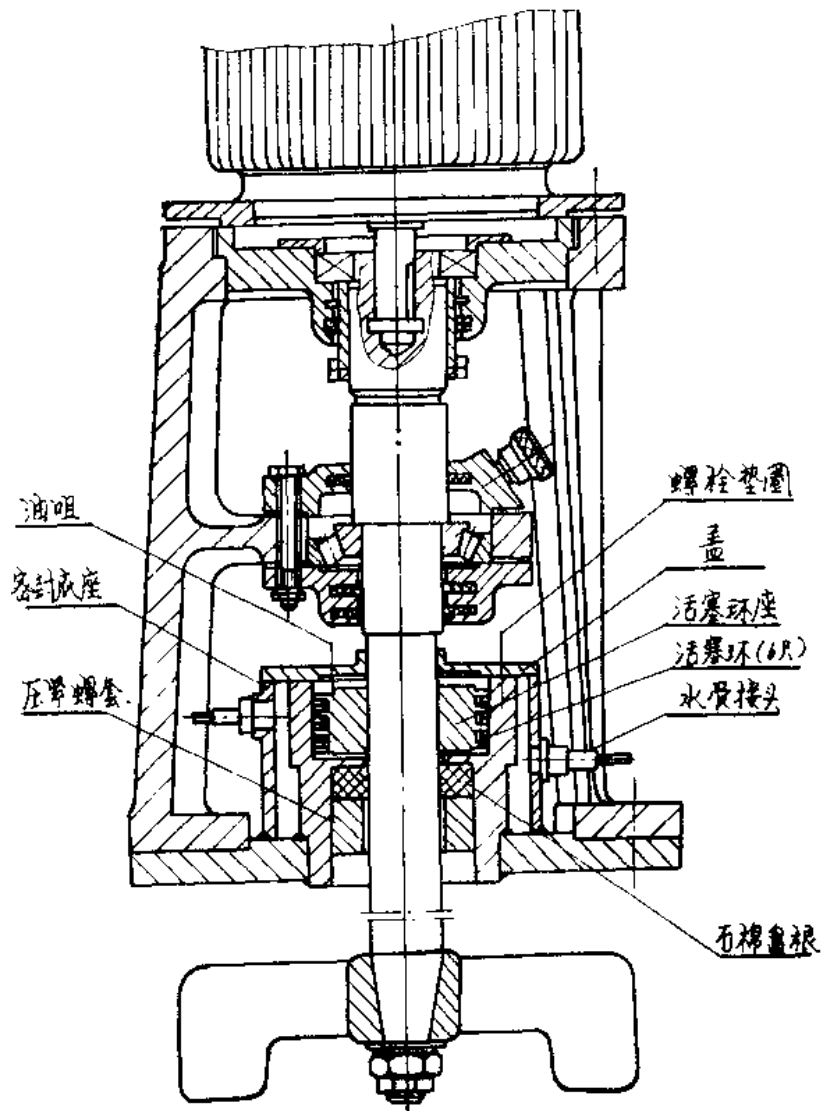


图2 风扇轴密封

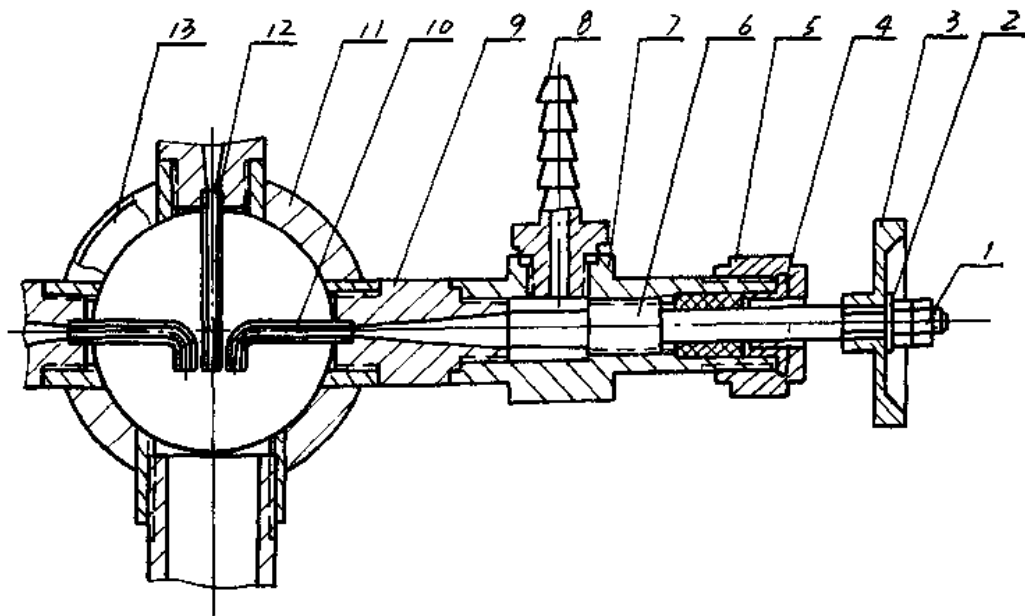


图3 气体渗碳炉滴液阀

- | | | |
|--------------|--------------|------------|
| 1 —— 螺母(M5); | 2 —— 垫圈(M5); | 3 —— 手轮; |
| 4 —— 压圈; | 5 —— 螺母; | 6 —— 阀杆; |
| 7 —— 阀体; | 8 —— 接管; | 9 —— 阀座; |
| 10 —— 直角滴管; | 11 —— 观察器; | 12 —— 直滴管; |
| 13 —— 圆螺母; | | |

而原来这个管道的位置却在料筐的外面，很不理想。我们把它弯到了内部(见图5)进行取气，效果很好。实验数据的再现性与此大有关系。由于炉气是控制的，取气管虽有弯头，却未发现有炭黑堵塞的现象。

取气管的炉外部分上接点火装置，把取气管和排气管合为一体。经反复比较，这样安排对保证炉气测定的真实性和减小自动控制的滞后性，具有良好的效果。因为气氛在400~720℃时，存在着 $\text{CO} \rightarrow \text{C} + \text{CO}_2$ 反应，所以应该尽量缩短气氛在这个温度范围内的停留时间，否则分析的结果必然是 CO_2 含量偏高，不能代表炉内的真实情况。取气管外加水冷套，把取气管与排气管合为一体，对解决上述问题极为有效。

在实验过程中，我们发现料筐的使用与否，对炉气的均匀性和滴剂的裂化程度影响很大。料筐除了用于装工件之外，还有着使炉气按照一定方向循环的作用。有些单位在渗碳时不用料筐，我们觉得不太合理。当然，原来的料筐在结构上存在着一定的缺点，如对炉膛空间的占用过大、装卸不便、不能直接淬火等。但对提高炉气的均匀性和滴剂的裂化程度，还是能够胜任的。关于这方面的改进，我们觉得最好搞成一个整体的圆筒，平时置于炉内不动，尺寸也可适当放大一些，以便提高炉子的有效利用系数。因为它的作用只在于引导炉气的循环，提高气氛的均匀性和滴剂的裂化程度，为避免误会起见，是否可称之为导气筒，而装工件的料筐或料架，再视具体情况而另行制造。

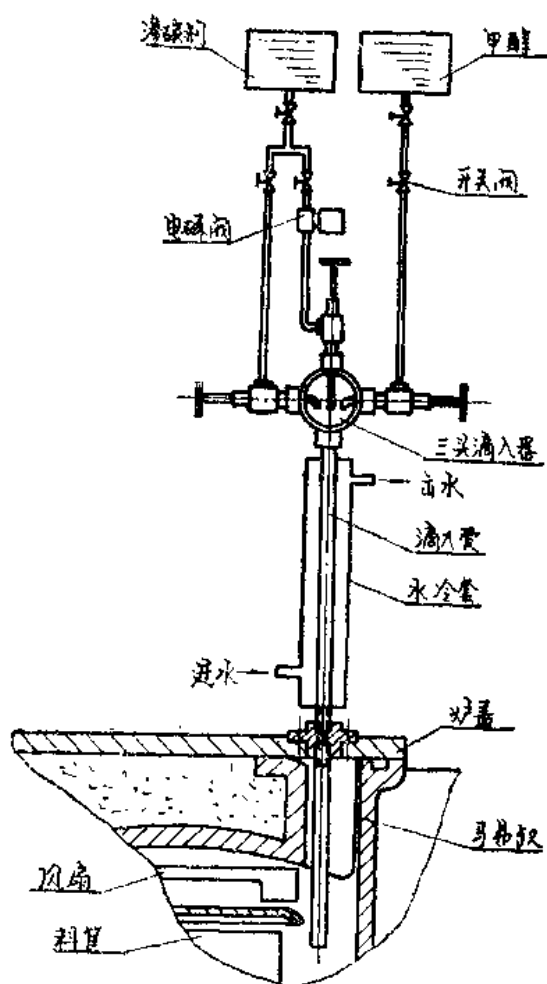


图4 滴入装置

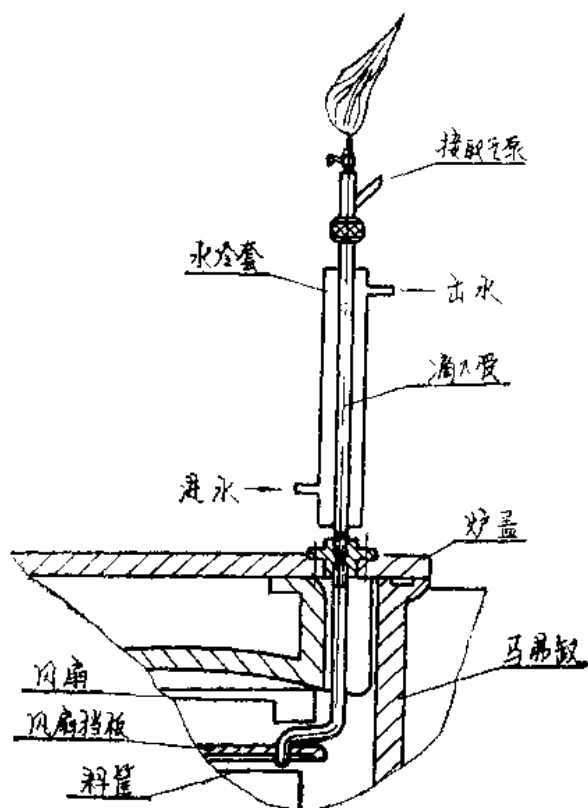


图5 取气排气装置

(二) 碳势自动控制系统及红外线分析的安装和使用

1. 碳势自控系统

本系统的闭环回路如图7所示。炉气依次经干燥器1、球形过滤器2、取样泵3、干燥器4、三通阀5、球形过滤器6、稳压阀7、流量计8、进入红外线分析仪表9，炉气在此被分析之后转变成相应的电信号输出，送到分析仪的二次仪表10给以 CO_2 含量的指示数值，然后将0~10毫伏的电信号送到记录仪11。记录仪除了连续记录 CO_2 含量的变化之外，还设有上下限报警的触点开关，电磁阀12与此相接。当记录仪上的实际值与预定值发生偏差时，触点开关立刻转换，从而决定电磁阀的关闭或打开，实现碳势的自动调节和控制。当红外仪刚刚介入的时候，由于炉气将稳未稳之故，控制精度较差，待半小时之后便可稳定在 $\pm 0.015\%$ 以内；在自控阶段的中期和后期，其控制精度更高，可以达到 $\pm 0.01\%$ 以内。

在此回路之中，我们还另备两只仪表：XCT-191和DF-1伺服放大器。其中XCT-191是带有PID的动圈温度指示仪，借用在此也是可以的；DF-1内设有转换开

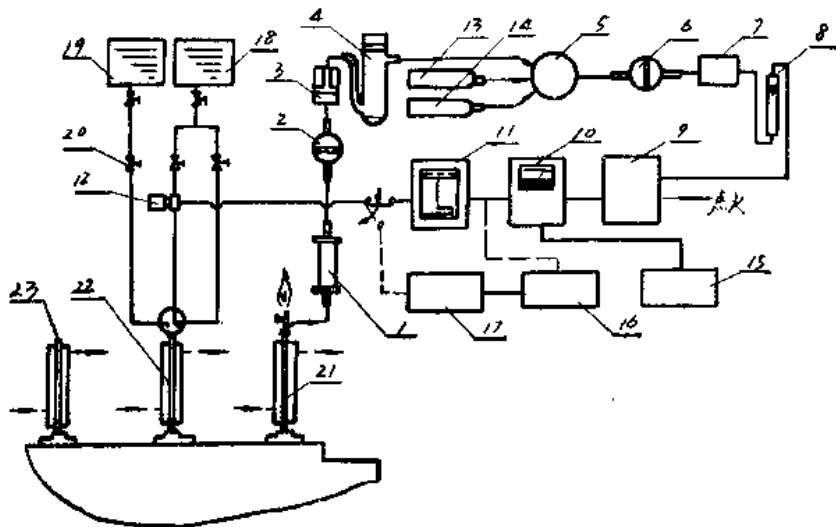


图6 碳势自控系统闭环回路

- | | | | |
|--------------------|------------------|------------|-------------------|
| 1 — 干燥器； | 2 — 过滤器； | 3 — 取样泵； | 4 — 干燥器； |
| 5 — 三通阀； | 6 — 过滤器； | 7 — 稳压阀； | 8 — 流量计； |
| 9 — 一次仪表； | 10 — 二次仪表； | 11 — 记录仪； | 12 — 电磁阀(DF-2-2)； |
| 13 — 零点气(N_2)； | 14 — CO_2 标准气； | 15 — 稳压电源； | 16 — XCT-191； |
| 17 — DF-1； | 18 — 渗碳液； | 19 — 甲醇； | 20 — 开关阀(5尺)； |
| 21 — 取气管； | 22 — 滴注管； | 23 — 取样管。 | |

关。另备这两只仪表的目的，主要是企图进一步提高自控精度。由于时间关系，只作了一些调试工作，目前还未进行使用和比较。

2. 红外线分析仪的安装和使用

关于安装和使用，说明书上已有详细的说明。这里仅介绍我们体会的三点注意事项。

(1) 为防止电源的干扰，红外仪的电源最好与动力电源分开。但有的车间只有一种电源，我们这里就是如此。在这种情况下，我们将两根角钢入地三尺，并联成一根地线，然后再与仪表的接地触头相接，效果不错，基本上克服了电源的干扰问题。

(2) 红外仪在正式介入工作之前，最少应预热2小时。相位平衡调好之后不必每次重调。但光路平衡、零点和满度指示，每次使用之前均需耐心细致地调整。使用之后，应该用 N_2 和 CO_2 标准气进行校验，注意其飘移情况，最好在出炉之前一小时进行一次校验，以便及时调整，保证渗碳质量的稳定。

(3) 为了保证测试条件一致性，进入红外仪的气体流量应该固定不变。

三、实验内容及实验方法和结果

(一) 实验内容

1. 测定 CO_2 含量与炉气碳势的对应关系——定碳；

2. 渗碳速度；
3. 碳浓度的分布——浓度梯度；
4. 金相组织

(二) 实验方法和结果

1. CO₂含量与炉气碳势的对应关系

CO₂含量与炉气碳势的对应关系，是指导生产制定工艺的依据，正确与否影响很大。因此，必须认真反复地通过定碳来找出这两者的对应关系。这是本实验工作中一项非常重要的内容。

同时，采用低碳铁皮(含碳量为0.13%，厚度为0.06毫米)和剥层试样进行定碳。铁皮定碳简便易行，能够比较迅速地了解炉气碳势情况，作为炉前化验手段是非常合适的。但是，铁皮定碳不能反应出合金元素对碳势的影响，加之装炉位置和出炉方式均与实际工件不同。所以铁皮定碳只能作为实际工件碳浓度的参考。而剥层定碳却能够比较真实的反应工件的碳浓度以及碳浓度的分布，故应以此作为制定工艺的主要依据。但剥层定碳比较麻烦，而且不能作为炉前化验的手段。

本实验的定碳以剥层法为主，铁皮法为辅。

(1) 铁皮定碳的方法和结果

首先，将定碳铁皮用酒精擦拭干净，并以铁丝系之。待炉气稳定之后，即可入炉，在一定气氛下保温15~20分钟便可渗穿。考虑到铁皮定碳对炉气成分的瞬时变化比较敏感，我们把保温时间延长到30~40分钟。出炉后先在取样管中冷却几分钟，借以保持不氧化不脱碳，然后再从取样管中拉出铁皮送交化验，其含碳数值即为气氛之碳势。图7是930℃时用铁皮定碳的结果。

(2) 剥层定碳的方法和结果

剥层定碳是否准确，与剥层试样两端的中心孔是否与外圆同心大有关系，这在试样加工时应该给予必要的说明。本实验所用剥层试样为Φ18×100毫米。

剥层试样应与工件同时入炉同时出炉。为了摆脱其它影响因素的干扰，该样在炉内的位置最好固定不变。为了减少脱碳，该样出炉之后立即淬火，然后涂上硼酸酒精过饱和溶液于650℃下回火，擦清表面之后即可进行剥层。试样经此处理，脱碳轻微，较之出炉缓冷要好。每层剥0.1毫米，依含碳量最高的一层(通常在第二层)作为碳势标准。我们定了三种试样，结果如图8、9、10所示。

以上的对应关系曲线均是在特定条件之下得出来的。当条件变化时，曲线也有相应的变化。如炉温、滴剂种类、炉子密封程度、取气位置、合金元素、炉气成分的稳定性等，都对CO₂%—C%对应关系有程度不等的影响。因此，这是具体考虑问题时所不可缺少的内容。

例如，炉温对碳势就有很大的影响。同样的炉气在不同的温度下具有不同的碳势，温度越高则碳势越低，反之亦然。通过图11可以清楚的看出这一点。

再如，合金元素对碳势的影响，通过剥层定碳便可看出，结果如图12所示。从这里可以看出，同一炉气兼顾不同材料的碳势要求，往往是不可能的，在多品种小批量生产的情况下应该给以适当的注意。

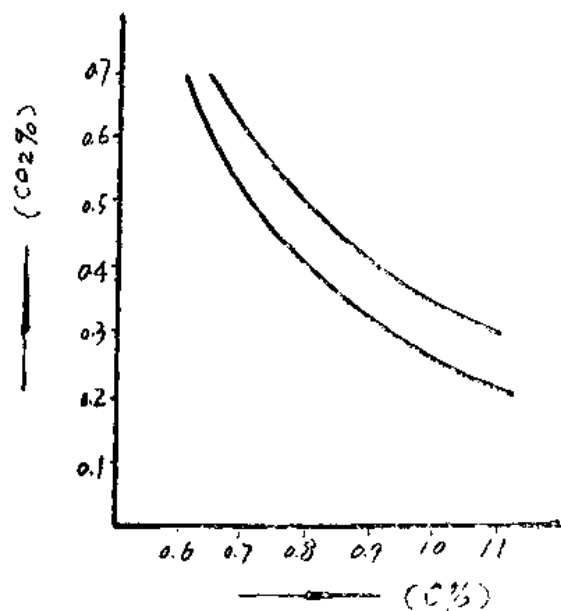


图7 铁皮C%—CO₂%对应关系
(930℃, 甲醇+煤油)

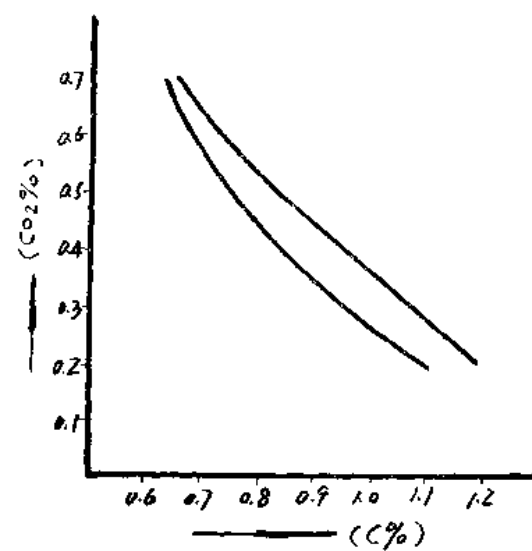


图8 20Cr的CO₂%—C%对应关系
(930℃, 甲醇+煤油)

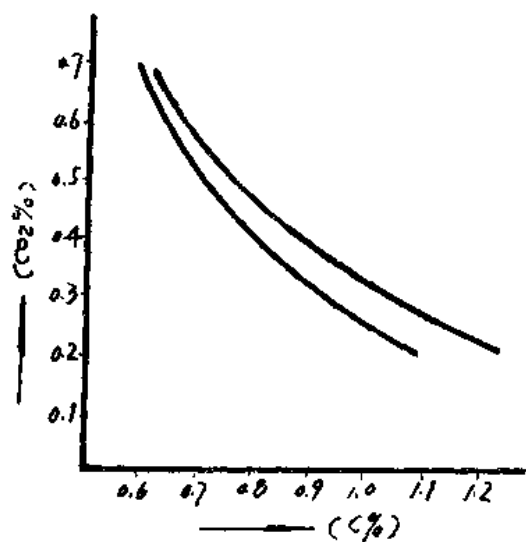


图9 18CrMnTi的CO₂%—C%对
应关系(930℃, 甲醇+煤油)

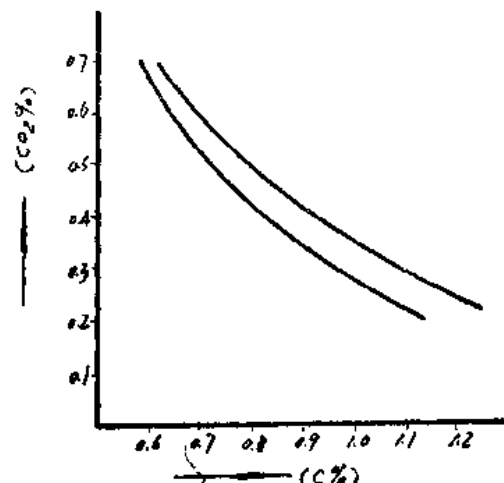


图10 18CrMnMo的CO₂%—C%对
应关系(930℃, 甲醇+煤油)

鉴于影响CO₂%—C%对应关系的因素很多，因此，只有根据具体的设备、滴剂、炉温、处理材料等制定相应经验曲线，方能达到准确控制碳势之目的。

2. 渗碳速度

原来的气体渗碳，由于不能自动调节煤油的滴入量，往往有炭黑出现，隔断了活性碳原子与工件表面的接触，降低了渗碳速度。采用可控气氛渗碳时，却很少出现炭黑，因此渗碳速度要快一些。

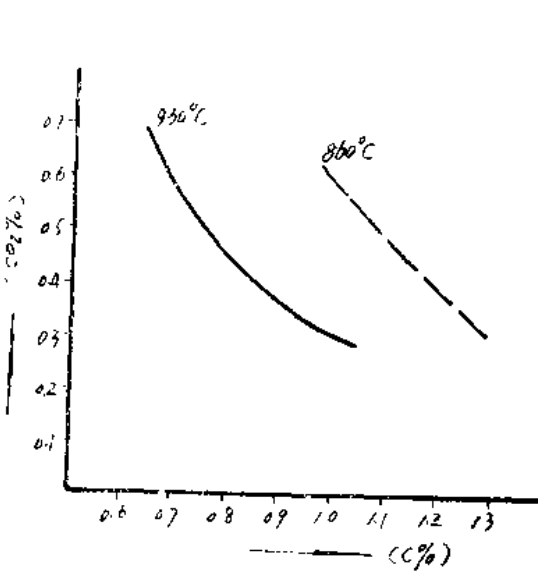


图11 温度对碳势的影响(甲醇+煤油)

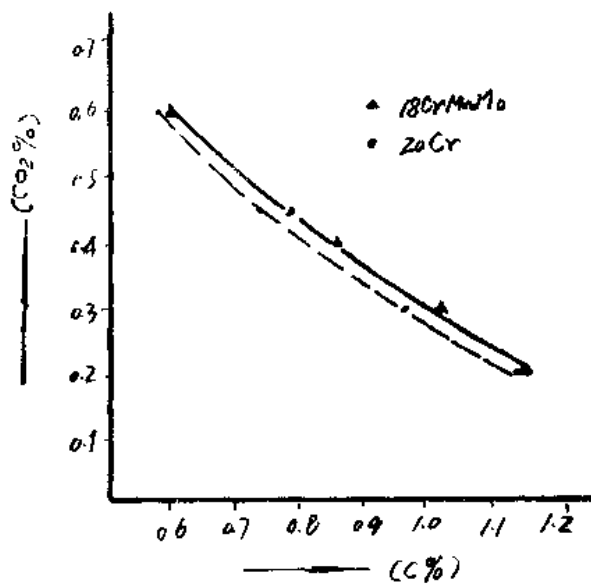


图12 合金元素对碳势的影响(930℃, 甲醇+煤油)

影响渗碳速度的因素也不少。在炉温一定的情况下，气氛碳势、合金元素等均对渗碳速度具有一定影响。

(1) 炉气碳势对渗碳速度的影响

我们曾以20Cr金相试样在不同的碳势下渗碳2小时，然后测量其渗碳深度，结果如图13所示。可以看出，在一定的时间内，碳势越高，则渗碳速度越快。因此，合理的渗碳工艺应该是首先在高碳势下快速渗碳，争取尽快满足深度要求；然后再于低碳势下进行定碳，满足表面碳浓度的要求，这样的结果是既缩短了工时又保证了质量。

(2) 合金元素对渗碳速度的影响

在一次渗碳周期为7小时(总时间)、自控阶段CO₂含量为0.3%的气氛中同时放了两块不同的试样(20Cr和18CrMnMo)，出炉后看其深度，结果如图14所示。

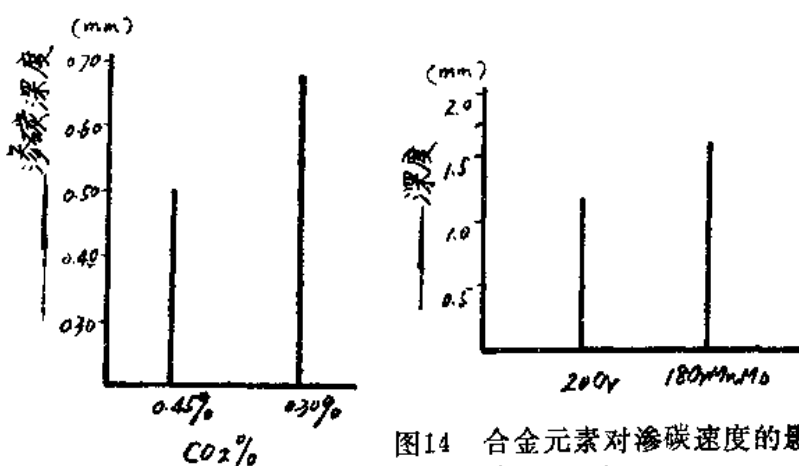


图13 碳势对渗碳速度的影响
(20Cr, 930℃, 2小时)

图14 合金元素对渗碳速度的影响
(930℃)

四、可控气氛渗碳工艺举例

(一) 处理对象及质量要求:

工件: 20Cr卡套

要求: 深度1.0~1.5毫米

(二) 渗碳工艺:

炉子升温的同时，起动红外仪进行预热。待炉温到850℃时，适当滴入一些甲醇；炉温到900℃时再加适量的煤油。这对缩短以后的排气时间很有效果。待炉温升至930℃时即可装炉，四块剥层试样(20*、20Cr、18CrMnTi、18CrMoMo)及三块金相试样也一同入炉。至此，渗碳周期开始，其全过程如图15所示。

升 温 排 气		红 外 仪 自 控 渗 碳			
时 间		9 3 0 ℃			
甲 醇	<900℃ 240d/分 ≥900℃ 80d/分	5 小 时			
煤 油	<900℃ 0d/分 ≥900℃ 240d/分	2 4 0 d/分 (常 量)			
CO ₂ %		0—80 d/分(自控供给)			
碳 浓 度		0.30% ± 0.01% (自控)			
铁 皮		20*	20Cr	18CrMnTi	18CrMoMo
1.04%		0.94%	0.96%	1.04%	1.02%
炉 压		25~35毫米水柱，火苗 250 毫米左右			

图15 渗碳工艺

升温排气阶段，红外线分析仪不能介入工作，但是这个阶段对整个的渗碳过程影响很大。这个阶段一般在2小时以内，因此装炉1.5小时后就应把红外仪校正好并开始进行介入的试探。可以介入而未介入延长了排气时间，容易产生炭黑，影响自控的精确性，对排气阶段的滴量，我们作过两次调整，900℃以前只滴甲醇，不滴煤油；900℃以后甲醇滴量减到80d/分，煤油滴量加到240d/分。当装炉量不大，温度下降后，仍不低于900℃时，仍然只滴甲醇不滴煤油，待工件透热之后再作调整。

装炉量的大小、装炉速度的快慢、滴注量的大小、工件表面是否干净等，都对排气时间的长短有影响。

我们把红外仪介入之后，CO₂含量到达预定值之前，叫作排气阶段；红外仪开始自

控之后直到出炉为止，叫作自控渗碳阶段。自控阶段的初期，由于炉气成分处于将稳未稳状态，脉冲供应渗碳剂时对气氛的干扰较大，因此控制误差也相应的大一些，但半小时后控制精度就高了。

(三) 渗碳结果

1. 渗层深度

20Cr~1.33毫米；

18CrMnTi~1.33毫米；

18CrMnMo~1.60毫米。

2. 硬度

试样经860℃淬火、200℃回火之后：

渗层硬度：HRC61~64

心部硬度：HRC40~45

3. 碳浓度分布（见图16）

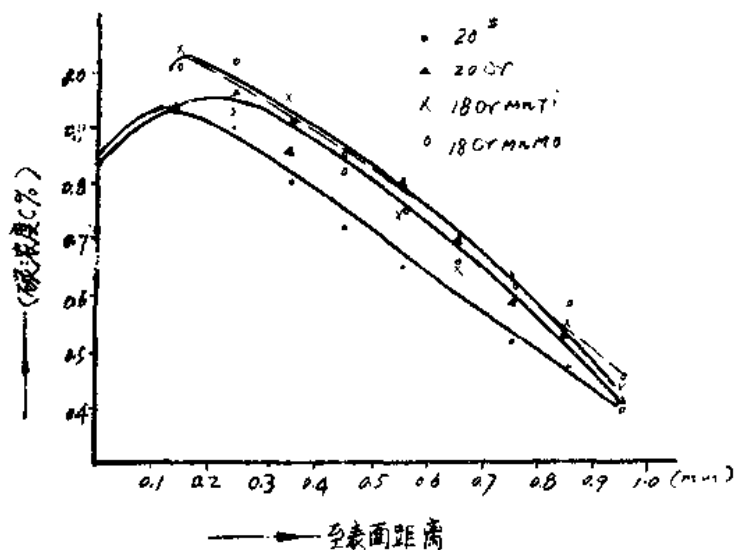


图16 碳浓度分布
(930℃, CO₂%为0.30%, 甲醇+煤油)

从四种剥层定碳的结果来看，距表面为0.9毫米的地方含碳量仍在0.40%以上。

4. 金相组织

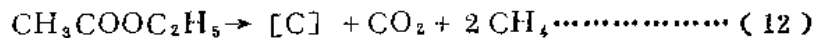
经金相显微镜观察，未见过剩网状碳化物出现。

五、关于炉气生成和变化规律的实验讨论

我们在以甲醇为稀释剂的同样条件下，先后曾分别以醋酸乙酯、丙酮和煤油为渗碳

剂进行了实验。虽然都能达到碳势控制的目的，但却由于渗碳剂的不同而在碳势控制上有着难易之区别。据有关文献介绍，醋酸乙酯是最理想的渗碳剂。但实验表明并不如丙酮好；煤油似乎不能满足本方法的要求，但在与甲醇联合使用时，效果却很好。为了能从本质上认识这些问题，对每种渗碳剂裂化气氛的生成和变化情况进行全面的了解，从中找出主要的影响因素，则是很有必要的。为此，我们进行了这样的实验：当炉气很稳定的时候（最好是渗碳的后期），停止渗碳剂的供应，只滴甲醇维持炉内为正压。首先，用针筒取气在色谱仪上分析炉气中的 CH_4 、CO、 H_2 、 CO_2 则在红外仪上给以指示和记录，以此作为以下进行比较的基准。接着，用注射器将5.5毫升的醋酸乙酯在8~10分钟内打到炉内，立刻再用针筒取气分析，每隔2~3分钟取气分析一次，在10分钟内进行3~4次。

通过这个实验可以发现，醋酸乙酯注入前后，炉气中的CO和 H_2 含量虽然有些波动，但变化不大。这充分证明在较大的碳势范围内CO和 H_2 的确是基本恒定不变的。但 CH_4 和 CO_2 的生成和变化情况却是十分引人注目的。图17就是注入醋酸乙酯后 CH_4 和 CO_2 的生成和变化情况。从这里可以看到，醋酸乙酯进炉之后，立刻生成大量的 CH_4 和 CO_2 ，从而可以推测这种液体的分解反应并不是按照理想的方程式(2) ($\text{CH}_3\text{COOC}_2\text{H}_5 \rightarrow 2[\text{C}] + 2\text{CO} + 4\text{H}_2$) 进行的，而应该是以下式进行的：



如按方程式(12)来推算，则 CH_4 的增加值应该是 CO_2 增加值的二倍。但从图19的实测数据来看， CH_4 的增加值却为 CO_2 增加值的六倍以上。这意味着在两者共同升高的过程中， CO_2 的中途消耗大于 CH_4 的中途消耗。

CO_2 和 CH_4 的消失情况也很不同，两者虽然都是快速的上升，但 CO_2 从峰值很快就下降到原来的数值，而且继续下降，经一最低值后便开始上升； CH_4 的消失却很缓慢，从顶峰回复到原来的数值几乎要用3分钟， CO_2 都开始上升了， CH_4 仍在下降。

CO_2 和 CH_4 的消失主要是由于以下几个反应造成，即：



当醋酸乙酯注入之后的一定时间内，以上的反应主要是向右边进行，因而使得 CO_2 和 CH_4 减少。从 CO_2 在上升时落后于 CH_4 而下降时超过 CH_4 这一现象说明，促使 CO_2 消失的反应要比促使 CH_4 消失的反应来得快。因此，可以断定在以上的四个反应中，反应(9)要比反应(8)、(10)、(11)为快。事实上也的确如此，当 CO_2 经一最低值后已经开始上升时， CH_4 却还在下降，而这时反应(9)已不再向右而是向左进行了。这

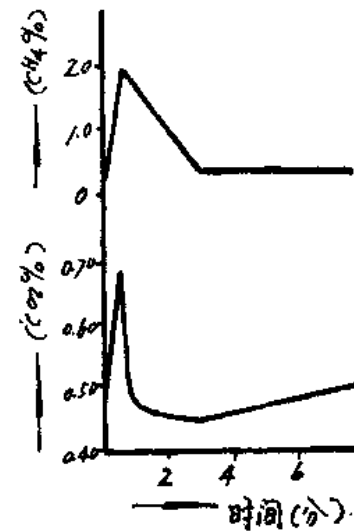


图17 注入醋酸乙酯后 CH_4 和 CO_2 之生成变化情况